



247089



พฤติกรรมการรับแรงดबนทึกที่ไม่ต้องการในโครงสร้างเสริมเหล็ก  
ภายในห้องสมุดเรียน

BEHAVIOR OF MASONRY PANEL CONFINED WITHIN REINFORCED  
CONCRETE FRAME UNDER SHEAR LOADING

พานิชณกุล นฤทธิ์

วิทยานิพนธ์สิ่งก่อสร้างและสถาปัตยกรรมสถาบันเทคโนโลยี  
สถาบันเทคโนโลยีขอนแก่น

บ.ศ. ๒๕๖๔

0252044

ห้องสมุดงานวิจัย สำนักงานคณะกรรมการวิจัยแห่งชาติ



พฤษิตกรรมการรับแรงของผนังทึบที่โอบรัดด้วยโครงข้อแข็งคอนกรีตเสริมเหล็ก

ภายใต้แรงเฉือน

**BEHAVIOUR OF MASONRY PANEL CONFINED WITHIN REINFORCED  
CONCRETE FRAME UNDER SHEAR LOADING**

นายลั่นกรุง พดุงกิจ

วิทยานิพนธ์ปริญญาวิศวกรรมศาสตรมหาบัณฑิต

มหาวิทยาลัยขอนแก่น

พ.ศ. 2554

พฤติกรรมการรับแรงของผนังทึบที่โอบรัดด้วยโครงข้อแข็งคอนกรีตเสริมเหล็ก  
ภายในตัวเร่งเฉือน

นายลั่นกรุง ผลุงกิจ

วิทยานิพนธ์นี้เป็นส่วนหนึ่งของการศึกษาตามหลักสูตรปริญญาวิศวกรรมศาสตรมหาบัณฑิต  
สาขาวิชาชีวกรรมโยธา  
บัณฑิตวิทยาลัย มหาวิทยาลัยขอนแก่น

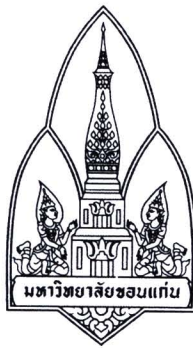
พ.ศ. 2554

**BEHAVIOUR OF MASONRY PANEL CONFINED WITHIN REINFORCED  
CONCRETE FRAME UNDER SHEAR LOADING**

**MR. LANKRUNG PADUNGKIT**

**A THESIS SUBMITTED IN PARTIAL FULFILLMENT OF THE REQUIREMENTS  
FOR THE DEGREE OF MASTER OF ENGINEERING  
IN CIVIL ENGINEERING  
GRADUATE SCHOOL KHON KAEN UNIVERSITY**

**2011**



ใบรับรองวิทยานิพนธ์  
มหาวิทยาลัยขอนแก่น  
หลักสูตร  
วิศวกรรมศาสตรมหาบัณฑิต  
สาขาวิชาวิศวกรรมโยธา

ชื่อวิทยานิพนธ์: พฤติกรรมการรับแรงของผนังทึบที่โอบรัดด้วยโครงข้อแข็งคอนกรีตเสริมเหล็กภายใต้แรงเนื้อน

ชื่อผู้ทำวิทยานิพนธ์: นายลั่นกรุง ผดุงกิจ

คณะกรรมการสอบวิทยานิพนธ์ รองศาสตราจารย์ รังษี นันทสาร	ประธานกรรมการ
ผู้ช่วยศาสตราจารย์ ดร. จาเริก ถีระวงศ์	กรรมการ
อาจารย์ ดร. อันยดา พรรณเชษฐ์	กรรมการ
อาจารย์ เมธี บุญพิเชฐวงศ์	กรรมการ

อาจารย์ที่ปรึกษาวิทยานิพนธ์:

.....   
(อาจารย์ ดร. อันยดา พรรณเชษฐ์) อาจารย์ที่ปรึกษา

.....  
(รองศาสตราจารย์ ดร. ลำปาง แม่นมาตย์) (รองศาสตราจารย์ ดร. สมนึก วีระกุลพิศุทธิ์)  
คณบดีบัณฑิตวิทยาลัย คณบดีคณะวิศวกรรมศาสตร์

ลิขสิทธิ์ของมหาวิทยาลัยขอนแก่น

ลั่นกรุง ผดุงกิจ. 2554. พฤติกรรมการรับแรงของผนังทึบที่โอบรัดด้วยโครงข้อแข็งคอนกรีต

เสริมเหล็กภายในใต้แรงเฉือน. วิทยานิพนธ์ปริญญาวิศวกรรมศาสตรมหาบัณฑิต  
สาขาวิชาวิศวกรรมโยธา บัณฑิตวิทยาลัย มหาวิทยาลัยขอนแก่น.

อาจารย์ที่ปรึกษาวิทยานิพนธ์: ดร. ธันยดา พรรณเชษฐ์

บทคัดย่อ

247089

การศึกษาในครั้งนี้ มีจุดประสงค์เพื่อศึกษาพฤติกรรมการรับแรงร่วมระหว่างผนังทึบกับโครงข้อแข็งคอนกรีตเสริมเหล็กภายในใต้แรงเฉือน โดยแบ่งการศึกษาออกเป็นสองส่วน คือ ส่วนที่หนึ่งเป็นการทดสอบผนังทึบเปล่าและผนังทึบที่โอบรัดด้วยโครงข้อแข็งคอนกรีตเสริมเหล็กภายในใต้แรงเฉือน ซึ่งประยุกต์ใช้มาตรฐาน ASTM E 519-02 และส่วนที่สองเป็นการจำลองพฤติกรรมการรับแรงของผนังทึบและผนังทึบที่โอบรัดด้วยโครงข้อแข็งคอนกรีตเสริมเหล็กภายในใต้แรงเฉือน ด้วยการวิเคราะห์โดยโปรแกรมวิเคราะห์โครงสร้าง SAP2000 จากผลการทดสอบพฤติกรรมของผนังเปล่าภายในใต้แรงเฉือนพบว่าเมื่อผนังทึบเปล่ารับแรงจนถึงจุดสูงสุดจะเกิดการวินาทีแบบทันทีทันใด เนื่องจากอิฐที่ใช้ก่อผนังเป็นวัสดุคุ้งประจำทำให้ ณ จุดวินาทีเกิดการปลดปลั้งงานทันทีและด้วยข้อจำกัดของเครื่องมือในการทดสอบจึงไม่สามารถควบคุมพฤติกรรมหลังการแตกร้าวได้ สำหรับการจำลองพฤติกรรมของผนังทึบเปล่าด้วยโปรแกรมวิเคราะห์โครงสร้าง SAP2000 โดยควบคุมการวินาทีของระบบโครงสร้างนี้ให้เข้าอยู่กับพฤติกรรมของชิ้นส่วนจำลองการแตกร้าว พน.ว่าเมื่อชิ้นส่วนจำลองการแตกร้าวเกิดการแตกร้าวแบบสมมูลรูปผนังทึบจะวินาทีโดยพบว่าเมื่อควบคุมพฤติกรรมการแตกร้าวโดยใช้การควบคุมการเสียรูป การวินาทีจะไม่วินาทีแบบทันทีทันใดแต่จะเป็นแบบกำลังรับแรงค่อยๆลดลง ซึ่งพฤติกรรมนี้ไม่สามารถหาได้จากการทดสอบ สำหรับการทดสอบพฤติกรรมของผนังทึบที่โอบรัดด้วยโครงข้อแข็งคอนกรีตเสริมเหล็กภายใน เมื่อผนังทึบที่โอบรัดด้วยโครงข้อแข็งคอนกรีตเสริมเหล็กรับแรงจนถึงจุดสูงสุดจะไม่เกิดการวินาทีแบบทันทีทันใด เนื่องจากมีผลการโอบรัดของโครงข้อแข็งคอนกรีตเสริมเหล็ก

Lankrung Padungkit. 2011. *Behaviour of Masonry Panel Confined within Reinforced*

*Concrete Frame under Shear Loading.* Master of Engineering Thesis in Civil  
Engineering, Graduate School, Khon Kaen University.

**Thesis Advisor:** Dr. Tanyada Pannachet

## ABSTRACT

247089

The objective of this study was to investigate behavior of masonry confined within RC frame under shear loading. The study included a laboratory experiment and a numerical investigation. For the experiment, we applied ASTM E519-02 testing standard to preliminarily investigate mechanical behavior of masonry panels when unconfined and when confined within RC frame, under load control technique. Like other quasi-brittle materials, the experimental results showed an abrupt tensile failure once the masonry panels reached their peak load carrying capacity. Because of limitations of our laboratory, the post-peak behavior could not be captured in this load-control experiment. Using the displacement control technique for modeling behavior of the panels via SAP2000, the panels did not fail abruptly but gradually reduced their load carrying capacity, thus directions of crack propagation could be observed. In the unconfined panel, it was found that the major crack path started from the middle and propagated to the top and the bottom corners of the test panel, whereas in the confined panel, the crack started at the top corner and propagated toward the bottom corner.

## กิตติกรรมประกาศ

วิทยานิพนธ์ฉบับนี้สำเร็จลุล่วงตามวัตถุประสงค์ที่วางไว้อย่างสมบูรณ์กีด้วยความกรุณาอย่างสูงจากหลายฝ่าย ที่ให้การสนับสนุนและการช่วยเหลือในทุกด้านแก่ผู้เขียน จึงทำให้ผลงานชิ้นนี้ประสบผลสำเร็จลงได้ด้วยดี

ผู้เขียนขอขอบพระคุณ ดร.ธันยดา พรรณเมฆส์ และ อ.เมธ บุญพิเชฐวงศ์ ซึ่งเป็นอาจารย์ที่ปรึกษาในการทำวิทยานิพนธ์ที่กรุณาให้คำปรึกษา คำแนะนำและให้ข้อคิดเห็นต่างๆ รวมถึงการตรวจสอบแก้ไขการทำงานทุกขั้นตอน วิจัยด้วยความเอาใจใส่เป็นอย่างดียิ่ง ขอขอบพระคุณรองศาสตราจารย์รังษี นันทสาร ซึ่งกรุณารับเป็นประธานกรรมการสอบวิทยานิพนธ์พร้อมด้วย ผศ.ดร.จารึก ถีรธรรม ซึ่งกรุณารับเป็นกรรมการสอบวิทยานิพนธ์และให้คำแนะนำต่างๆ ที่เป็นประโยชน์แก่ผู้เขียน และขอขอบคุณ ศูนย์วิจัยและพัฒนา โครงสร้างมูลฐานอย่างยั่งยืน ภาควิชาศึกษาศาสตร์ มหาวิทยาลัยขอนแก่น ที่ให้ความอนุเคราะห์สนับสนุนทุนในการศึกษาในครั้งนี้

ความดีทั้งหมดของการทำวิทยานิพนธ์ฉบับนี้ผู้เขียนขอขอบให้ คุณพ่อมาโนติย์ พุดกิจ และคุณแม่รุ่งรัศมี พุดกิจ อันเป็นที่รักและเคารพยิ่งของผู้เขียน ขอบคุณนายวินัย สุโพธิ์ นายอภิสิทธิ์ พาพวย และนางสาวจิราภรณ์ พัศตร ที่เป็นผู้แนะนำและเป็นเพื่อนที่คอยให้กำลังใจในการศึกษา ซึ่งเป็นผู้ช่วยวิจัยที่แสนดีในการช่วยเหลือคุณเดลทุกๆ ด้านและคอยให้กำลังใจแก่ผู้เขียนจนสำเร็จการศึกษา

ลั่นกรุง พุดกิจ

## สารบัญ

	หน้า
บทคัดย่อภาษาไทย	ก
บทคัดย่อภาษาอังกฤษ	ข
กิตติกรรมประกาศ	ค
สารบัญตาราง	จ
สารบัญภาพ	ช
บทที่ 1 บทนำ	1
1.1 ความเป็นมาและความสำคัญของปัญหา	1
1.2 วัตถุประสงค์	3
1.3 ขอบเขตงานวิจัย	3
บทที่ 2 ทบทวนวรรณกรรม	4
2.1 การศึกษาพฤติกรรมการรับแรงของผนังทึบ	4
2.2 การศึกษาการจำลองพฤติกรรมการรับแรงของผนังทึบโดยใช้ชีวิชไฟไนต์เอเลเมนต์	7
บทที่ 3 ทฤษฎีที่เกี่ยวข้อง	9
3.1 ผนังทึบ	9
3.2 การประยุกต์ใช้ชีวิชไฟไนต์เอเลเมนต์ในงานวิศวกรรมโครงสร้าง	13
บทที่ 4 วิธีดำเนินการวิจัย	17
4.1 การทดสอบพฤติกรรมของผนังทึบรับแรงเฉือน	17
4.2 การวิเคราะห์โดยโปรแกรมวิเคราะห์โครงสร้าง SAP2000	26
บทที่ 5 ผลการวิจัย	35
5.1 ผลการทดสอบกำลังอัดประดับของกำแพงก่ออิฐขนาดเล็ก ตามมาตรฐาน ASTM 447	35
5.2 ผลการทดสอบผนังทึบเปล่าและผนังทึบที่โอบรัดด้วยโครงข้อแข็ง คอนกรีตเสริมเหล็กภายใต้แรงเฉือนตามมาตรฐาน ASTM E519-02	36
5.3 ผลการวิเคราะห์พุติกรรมของผนังทึบเปล่าและผนังทึบที่โอบรัดด้วย โครงข้อแข็งคอนกรีตเสริมเหล็กภายใต้แรงเฉือน ด้วยโปรแกรมวิเคราะห์ โครงสร้าง SAP2000	43
บทที่ 6 สรุปผลการศึกษาและข้อเสนอแนะ	62
บรรณานุกรม	64

## สารบัญตาราง

	หน้า
ตารางที่ 3.1 คุณสมบัติค้านวิศวกรรมของผนังทึบจำแนกตามสภาพ ของผนังทึบ	9
ตารางที่ 4.1 รายละเอียดของ ไดอัลเกจและความยาวของเกจวัดการเปลี่ยนแปลงรูปร่าง ของตัวอย่างทดสอบกลุ่มที่ 1 และ 2	20
ตารางที่ 4.2 คุณสมบัติของวัสดุที่ใช้ในแบบจำลอง	33
ตารางที่ 5.1 คุณสมบัติของอิฐมอญ	35
ตารางที่ 5.2 หน่วยแรงเฉือนประดับ ความเครียดเฉือนประดับ และแรงประดับของ ตัวอย่างทดสอบกลุ่มที่ 1	38
ตารางที่ 5.3 หน่วยแรงเฉือนประดับ ความเครียดเฉือนประดับ และแรงประดับของ ตัวอย่างที่ 2	42

## สารบัญภาพ

	หน้า
ภาพที่ 1.1 การทดสอบพนังทึบเปล่ารับแรงเฉือนตามมาตรฐาน ASTM E519-02	2
ภาพที่ 1.2 พฤติกรรมการรับแรงเฉือนของพนังทึบเปล่า	2
ภาพที่ 2.1 การศึกษาพฤติกรรมของอิฐที่ผลิตภายในประเทศภายใต้หนักบรรทุกในแนวตั้งและแผ่กระจายสม่ำเสมอ	5
ภาพที่ 2.2 การทดสอบเพื่อศึกษาพฤติกรรมของอิฐที่ผลิตภายในประเทศภายใต้หนักบรรทุกในแนวตั้งและแผ่กระจายสม่ำเสมอ	5
ภาพที่ 2.3 การทดสอบโครงข้อแข็งเหล็กกับพนังทึบภายใต้แรงกระทำด้านข้าง	
ภาพที่ 3.1 โมดูลัสยืดหยุ่นของพนังทึบ	10
ภาพที่ 3.2 รูปแบบของการวินิจฉัยของพนังทึบที่อบรักด้วยโครงข้อแข็ง	
ภาพที่ 3.3 พฤติกรรมการเกิดการแตกร้าวของพนังทึบ	13
ภาพที่ 3.4 ความสัมพันธ์ระหว่างหน่วยแรงดึงกับพลังงานการแตกร้าว	13
ภาพที่ 3.5 ความสัมพันธ์ไม่เป็นเชิงเส้นระหว่างแรงที่จุดต่อ กับการเคลื่อนที่ของจุดต่อ	
ภาพที่ 4.1 ตัวอย่างทดสอบกลุ่มที่ 1 (พนังทึบเปล่าที่ไม่มีการอบรัก)	18
ภาพที่ 4.2 ตัวอย่างทดสอบกลุ่มที่ 2 (พนังทึบที่มีการอบรัก)	19
ภาพที่ 4.3 การติดตั้งได้อัลเกจแบบเกจวัดยาวและแบบเกจวัดสั้น	19
ภาพที่ 4.4 อุปกรณ์ให้แรงกับชิ้นตัวอย่างทดสอบ	20
ภาพที่ 4.5 อุปกรณ์วัดการเคลื่อนที่ ได้อัลเกจ	21
ภาพที่ 4.6 อุปกรณ์ถ่ายแรงให้กับตัวอย่างทดสอบ	21
ภาพที่ 4.7 อุปกรณ์ Universal Testing Machine	22
ภาพที่ 4.8 การก่อ Prism เพื่อทดสอบหานหน่วยแรงอัด	23
ภาพที่ 4.9 การติดตั้งตัวอย่างทดสอบพนังทึบเปล่า	25
ภาพที่ 4.10 Four-node Quadrilateral Plane Stress Element ที่ใช้ในการจำลองพนังทึบเปล่า	26
ภาพที่ 4.11 คุณสมบัติของแบบจำลองชิ้นส่วนแบบระบบ	27
ภาพที่ 4.12 ชิ้นส่วนแบบแท่ง (Bar-element) ที่ใช้ในการจำลองการแตกร้าวอย่างง่าย	27
ภาพที่ 4.13 พฤติกรรมของชิ้นส่วนแบบแท่ง	28
ภาพที่ 4.14 แบบจำลองพนังทึบที่วิเคราะห์ด้วยโปรแกรม SAP2000	28

## สารบัญภาพ (ต่อ)

	หน้า
ภาพที่ 4.15 ชิ้นส่วนแบบ shell element มีจุดต่อ 4 จุด	29
ภาพที่ 4.16 ชิ้นส่วนแบบคานมีจุดต่อ 2 จุด	30
ภาพที่ 4.17 แบบจำลองผนังทึบที่โอบรัดด้วยโครงข้อแข็งคอนกรีตเสริมเหล็กที่วิเคราะห์ด้วยโปรแกรม SAP2000	30
ภาพที่ 4.18 แบบจำลองพฤติกรรมของโครงข้อแข็งคอนกรีตเสริมเหล็ก	31
ภาพที่ 4.19 ค่าพารามิเตอร์ของโครงข้อแข็งคอนกรีตเสริมเหล็กตามมาตรฐาน FEMA356	32
ภาพที่ 5.1 การทดสอบ Prism และการทดสอบก้อนอิฐ 1 ก้อน	35
ภาพที่ 5.2 สภาพรอยแตกร้าวของผนังทึบเปล่าจากการทดสอบ	36
ภาพที่ 5.3 ความสัมพันธ์ระหว่างแรงกับการเปลี่ยนแปลงรูปร่างของตัวอย่างทดสอบ UCF1 (แบบเกจวัดยาว)	37
ภาพที่ 5.4 ความสัมพันธ์ระหว่างแรงกับการเปลี่ยนแปลงรูปร่างของตัวอย่างทดสอบ UCF2 (แบบเกจวัดยาว)	37
ภาพที่ 5.5 ความสัมพันธ์ระหว่างแรงกับการเปลี่ยนแปลงรูปร่างของตัวอย่างทดสอบ UCF3 (แบบเกจวัดยาว)	37
ภาพที่ 5.6 ความสัมพันธ์ระหว่างหน่วยแรงเมื่อกับความเครียดเนื่องจากการให้แรงกระทำ 2 รอบและผลลัพธ์ว่าจะหาได้จากวิธีความคุณการเสียรูปของตัวอย่างทดสอบ CF2 (เกจวัดยาว)	39
ภาพที่ 5.7 สภาพรอยแตกจำลองที่แต่ละสภาพของโครงข้อแข็งคอนกรีตเสริมเหล็ก กับผนังทึบในการให้แรงกระทำรอบที่หนึ่ง	39
ภาพที่ 5.8 สภาพรอยแตกจำลองที่แต่ละสภาพของโครงข้อแข็งคอนกรีตเสริมเหล็ก กับผนังทึบในการให้แรงกระทำรอบที่สอง	40
ภาพที่ 5.9 ความสัมพันธ์ระหว่างแรงกับการเสียรูปของตัวอย่างทดสอบ CF1 (แบบเกจวัดยาว) ณ สภาวะต่างๆ	40
ภาพที่ 5.10 ความสัมพันธ์ระหว่างแรงกับการเสียรูปของตัวอย่างทดสอบ CF2 (แบบเกจวัดยาว) ณ สภาวะต่างๆ	41
ภาพที่ 5.11 ความสัมพันธ์ระหว่างแรงกับการเสียรูปของตัวอย่างทดสอบ CF3 (แบบเกจวัดยาว) ณ สภาวะต่างๆ	40

## สารบัญภาพ (ต่อ)

	หน้า
ภาพที่ 5.12 ความสัมพันธ์ระหว่างหน่วยแรงเฉือนและกับความเครียดเนื้องอกผนังทึบที่ไม่มีการโอบรัดกับผนังทึบที่มีการโอบรัดด้วยโครงข้อแข็งคอนกรีตเสริมเหล็ก	42
ภาพที่ 5.13 การแตกร้าวสภาวะ A (แบบจำลองผนังทึบเปล่า) ขยาย 100 เท่า	45
ภาพที่ 5.14 การแตกร้าวสภาวะ B (แบบจำลองผนังทึบเปล่า) ขยาย 100 เท่า	45
ภาพที่ 5.15 การแตกร้าวสภาวะ C (แบบจำลองผนังทึบเปล่า) ขยาย 100 เท่า	46
ภาพที่ 5.16 การแตกร้าวสภาวะ D (แบบจำลองผนังทึบเปล่า) ขยาย 100 เท่า	46
ภาพที่ 5.17 สภาวะการเกิดการแตกร้าวของแบบจำลองการแตกร้าวชิ้นส่วนที่ 2	46
ภาพที่ 5.18 สภาวะการเกิดการแตกร้าวของแบบจำลองการแตกร้าวชิ้นส่วนที่ 3	47
ภาพที่ 5.19 สภาวะการเกิดการแตกร้าวของแบบจำลองการแตกร้าวชิ้นส่วนที่ 4	47
ภาพที่ 5.20 สภาวะการเกิดการแตกร้าวของแบบจำลองการแตกร้าวชิ้นส่วนที่ 5	47
ภาพที่ 5.21 สภาวะการเกิดการแตกร้าวของแบบจำลองการแตกร้าวชิ้นส่วนที่ 6	48
ภาพที่ 5.22 สภาวะการเกิดการแตกร้าวของแบบจำลองการแตกร้าวชิ้นส่วนที่ 7	48
ภาพที่ 5.23 สภาวะการเกิดการแตกร้าวของแบบจำลองการแตกร้าวชิ้นส่วนที่ 8	48
ภาพที่ 5.24 สภาวะการเกิดการแตกร้าวของแบบจำลองการแตกร้าวชิ้นส่วนที่ 9	49
ภาพที่ 5.25 สภาวะการเกิดการแตกร้าวของแบบจำลองการแตกร้าวชิ้นส่วนที่ 10	49
ภาพที่ 5.26 ความสัมพันธ์ระหว่างแรงกับการเคลื่อนที่ของแบบจำลองผนังทึบเปล่าภายใต้แรงเนื้องอก	49
ภาพที่ 5.27 การแตกร้าวสภาวะ A ขยาย 100 เท่า (แบบจำลองผนังทึบที่โอบรัดด้วยโครงข้อแข็งคอนกรีตเสริมเหล็ก)	51
ภาพที่ 5.28 การแตกร้าวสภาวะ B ขยาย 100 เท่า (แบบจำลองผนังทึบที่โอบรัดด้วยโครงข้อแข็งคอนกรีตเสริมเหล็ก)	52
ภาพที่ 5.29 การแตกร้าวสภาวะ C ขยาย 100 เท่า (แบบจำลองผนังทึบที่โอบรัดด้วยโครงข้อแข็งคอนกรีตเสริมเหล็ก)	52
ภาพที่ 5.30 การแตกร้าวสภาวะ D ขยาย 100 เท่า (แบบจำลองผนังทึบที่โอบรัดด้วยโครงข้อแข็งคอนกรีตเสริมเหล็ก)	52

## สารบัญภาพ (ต่อ)

	หน้า	
ภาพที่ 5.31	การแตกร้าวสภาพวัสดุ ขยาย 100 เท่า (แบบจำลองผนังทึบที่โอบรัดด้วยโครงข้อแข็งคอนกรีตเสริมเหล็ก)	53
ภาพที่ 5.32	การแตกร้าวสภาพ F ขยาย 100 เท่า (แบบจำลองผนังทึบที่โอบรัดด้วยโครงข้อแข็งคอนกรีตเสริมเหล็ก)	53
ภาพที่ 5.33	สภาพการเกิดการแตกร้าวของแบบจำลองการแตกร้าวชิ้นส่วนที่ 2	53
ภาพที่ 5.34	สภาพการเกิดการแตกร้าวของแบบจำลองการแตกร้าวชิ้นส่วนที่ 3	54
ภาพที่ 5.35	สภาพการเกิดการแตกร้าวของแบบจำลองการแตกร้าวชิ้นส่วนที่ 4	54
ภาพที่ 5.36	สภาพการเกิดการแตกร้าวของแบบจำลองการแตกร้าวชิ้นส่วนที่ 5	55
ภาพที่ 5.37	สภาพการเกิดการแตกร้าวของแบบจำลองการแตกร้าวชิ้นส่วนที่ 6	55
ภาพที่ 5.38	สภาพการเกิดการแตกร้าวของแบบจำลองการแตกร้าวชิ้นส่วนที่ 7	56
ภาพที่ 5.39	สภาพการเกิดการแตกร้าวของแบบจำลองการแตกร้าวชิ้นส่วนที่ 8	56
ภาพที่ 5.40	สภาพการเกิดการแตกร้าวของแบบจำลองการแตกร้าวชิ้นส่วนที่ 9	57
ภาพที่ 5.41	สภาพการเกิดการแตกร้าวของแบบจำลองการแตกร้าวชิ้นส่วนที่ 10	57
ภาพที่ 5.42	ความสัมพันธ์ระหว่างแรงกับการเคลื่อนที่ของแบบจำลองผนังทึบที่โอบรัดด้วยโครงข้อแข็งคอนกรีตเสริมเหล็กภายใต้แรงเฉือน	58
ภาพที่ 5.43	เปรียบเทียบพฤติกรรมการรับแรงเฉือนของแบบจำลองผนังทึบเปล่า กับผนังทึบที่โอบรัดด้วยโครงข้อแข็งคอนกรีตเสริมเหล็ก	59
ภาพที่ 5.44	เปรียบเทียบความสัมพันธ์ระหว่างแรงกับการเคลื่อนของผนังทึบเปล่า	60
ภาพที่ 5.45	เปรียบเทียบความสัมพันธ์ระหว่างแรงกับการเคลื่อนของผนังทึบที่โอบรัดด้วยโครงข้อแข็งคอนกรีตเสริมเหล็ก	61